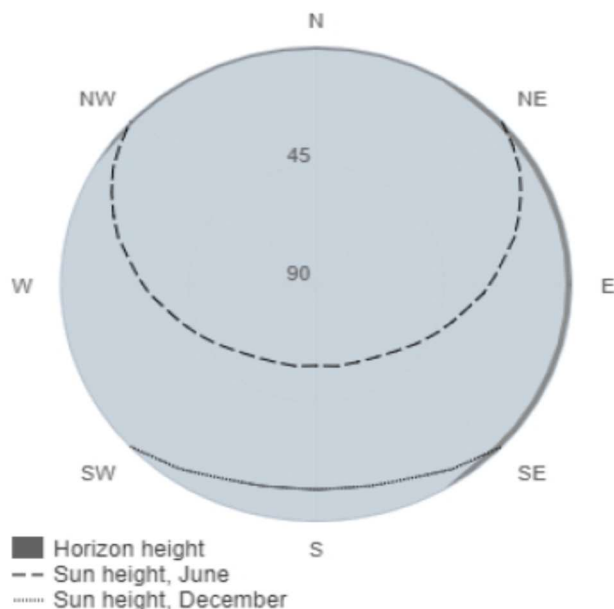
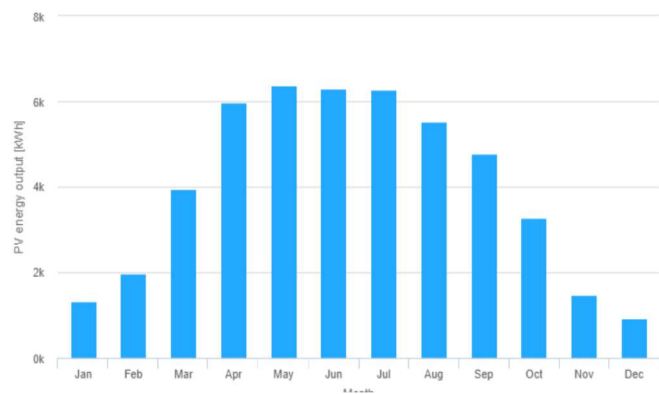


## Outline of horizon at chosen location:

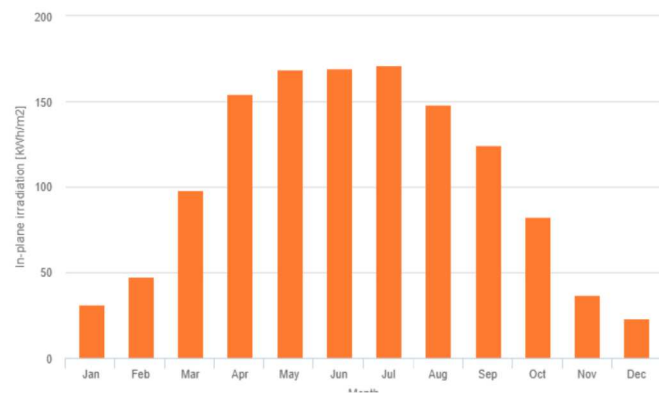
Dostarczone dane wejściowe :	
Lokalizacja [szer./dł., geogr.] :	54.176,15.574
Horyzont :	Obliczony
Użyta baza danych :	PVGIS-SARAH
Technologia fotowoltaiczna :	Krzem krystaliczny
Zainstalowana moc fotowoltaiczna [kWp]:	49,00
Utrata systemu [%]:	14
Wyniki symulacji :	
Kąt nachylenia [°]:	39 (opcja)
Kąt azymutu [°]:	0
Roczna produkcja energii fotowoltaicznej [kWh]:	48123,21
Roczne napromieniowanie wewnątrz samolotu [kWh/m <sup>2</sup> ]:	1253.96
Zmienność rok do roku [kWh]:	2660,48
Zmiany w produkcji spowodowane :	
Kąt padania [%]:	-2,985
Efekty widmowe [%]:	1,74p
Temperatura i niskie natężenie promieniowania [%]:	-7,743
Całkowita utrata [%]:	-21,688



Monthly energy output from fix-angle PV system:



Monthly in-plane irradiation for fixed-angle:



Monthly PV energy and solar irradiation

Month	E_m	H(i)_m	SD_m	
January	1310.6	31.1	346.1	<div>E_m: Average monthly electricity production from the defined system [kWh].</div> <div>H(i)_m: Average monthly sum of global irradiation per square meter received by the modules of the given system [kWh/m²].</div> <div>SD_m: Standard deviation of the monthly electricity production due to year-to-year variation [kWh].</div>
February	1963.0	47.1	730.0	
March	3943.3	97.9	725.7	
April	5992.3	154.3	959.9	
May	6377.0	168.8	1089.8	
June	6297.2	169.4	589.0	
July	6272.4	171.1	837.9	
August	5525.4	148.1	841.0	
September	4777.6	124.9	619.5	
October	3260.1	82.1	733.0	
November	1475.0	36.5	513.4	
December	929.4	22.8	189.9	

